

東亞及西太平洋夏季高空冷心低壓之氣候學

王時鼎 羅季康

梁瑞禎 謝維權 游本麟

Climatology of the Upper Cold Lows in the Far East and West Pacific

Shih-Ting Wang Chi-Kang Lo

Jui-Cheng Liang Wei-Chyuan Shieh Pen-Lin Yu

Abstract

Upper Cold lows have been one of the most puzzling of tropical weather systems for a long time, but they still remain as a mystery among us at present.

This paper is engaged in a effort to make a through and systematic study from the climatological standpoint by using the data of 15 years for the summer times (June to September) in the Far East and West Pacific since 1963.

In this study tracks of 163 Cold lows which belong to five types, are documented for reference and some basic statistics concerning their formations, dissipations, maximum intensities and movements are worked out.

一、前言

夏秋期間，東亞及西太平洋區域，除間受颱風影響外，就氣壓系統言，最顯著者，對流層中上層冷心低壓，厥為其一。該冷心低壓 (cold core low) 或稱冷渦 (cold vortex)，其重要性可略如下述：

(1) 該系統係出現於 2 萬 (500mb) 至 4 萬 5 千呎 (150mb) 之間，間亦延伸至地面。其範圍一般均小，略在 4 至 10 個緯度之間。當其過境時，該厚度層內風系均受擾亂。此雖為一中小幅度 (meso-scale) 之氣壓系統，但可穩定存在，且竟有持續達十天以上者。故就其本身言，即為一極有興之氣象動力學上之課題。

(2) 臺灣區域，一般言，恰為冷心低壓活動頗為頻仍之區域。某些冷低並有東風噴射氣流伴生，即有顯著之動能集中現象。

(3) 當其過境時，臺灣區域每有顯著之天氣擾亂，通常均可造成頗具規模之雷陣雨。

(4) 最重要者，冷心低壓之出現，每影響附近氣壓系統之活動，特別為對颱風生成、發展、運動之影響。

有關類此中幅度之冷心低壓，最早注意及者有 Palmen (1949)，Palmer (1953)，Simpson (1952)，以及 Sadler (1969)，Palmen 與 Newton (1969)，Frank (1970) 等。但各該項討論分析，均非屬吾人有關區域。鑒於冷心低壓對夏季本區天氣預報之重要性，國人中如林鞠情 (1972)，吳宗堯 (1976) 亦曾作有研究，並分析其對天氣之影響。而本研究則係特別着重以下數者：

(1) 資料之廣泛調查。此處為根據最近十五年 (1963-1977) 東亞及西太平洋區域，6-9 月份之高層天氣圖，作詳細事後分析 (post-analysis)，求出有關統計。

※ 本文為「東亞及西太平洋夏季高空冷心低壓之氣候與天氣特徵分析」專題研究之一部份。本文之完成曾得國科會補助。

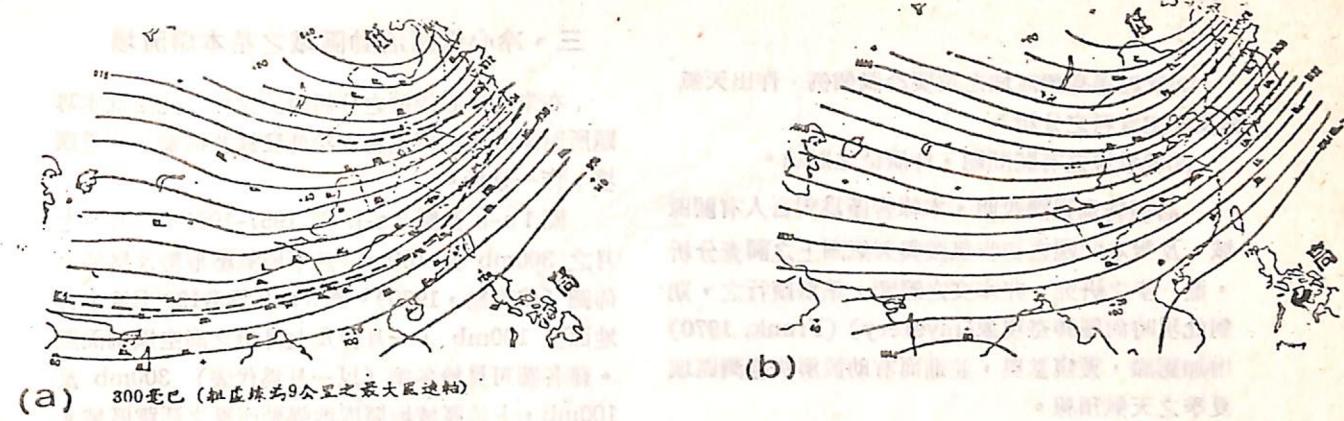


圖 1、1957—1961 年 1 月份 (a) 300mb 與 (b) 100mb 層平均天氣圖

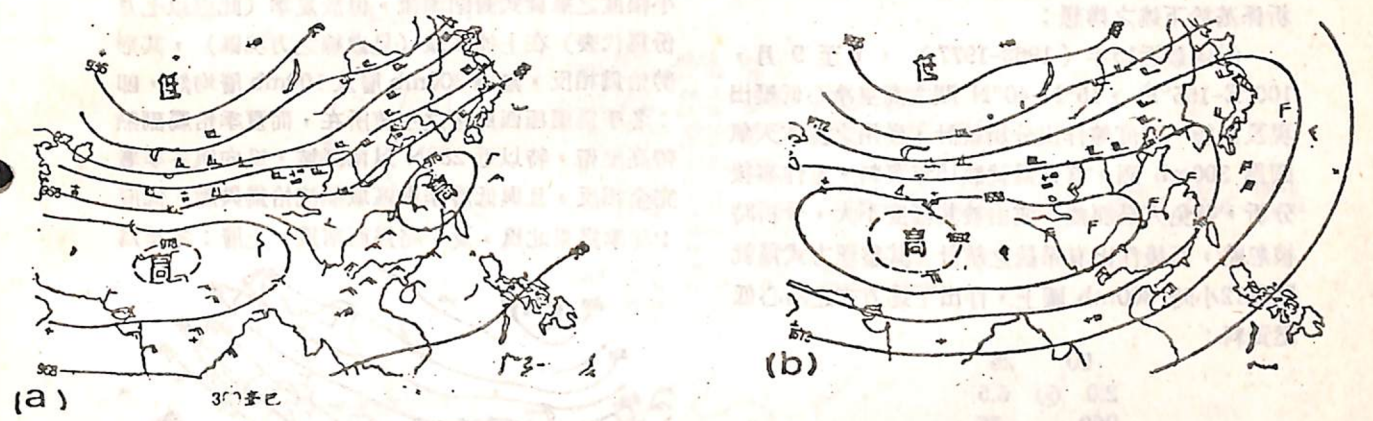


圖 2、1957—1961 年 7 月份 (a) 300mb 與 (b) 100mb 層平均天氣圖

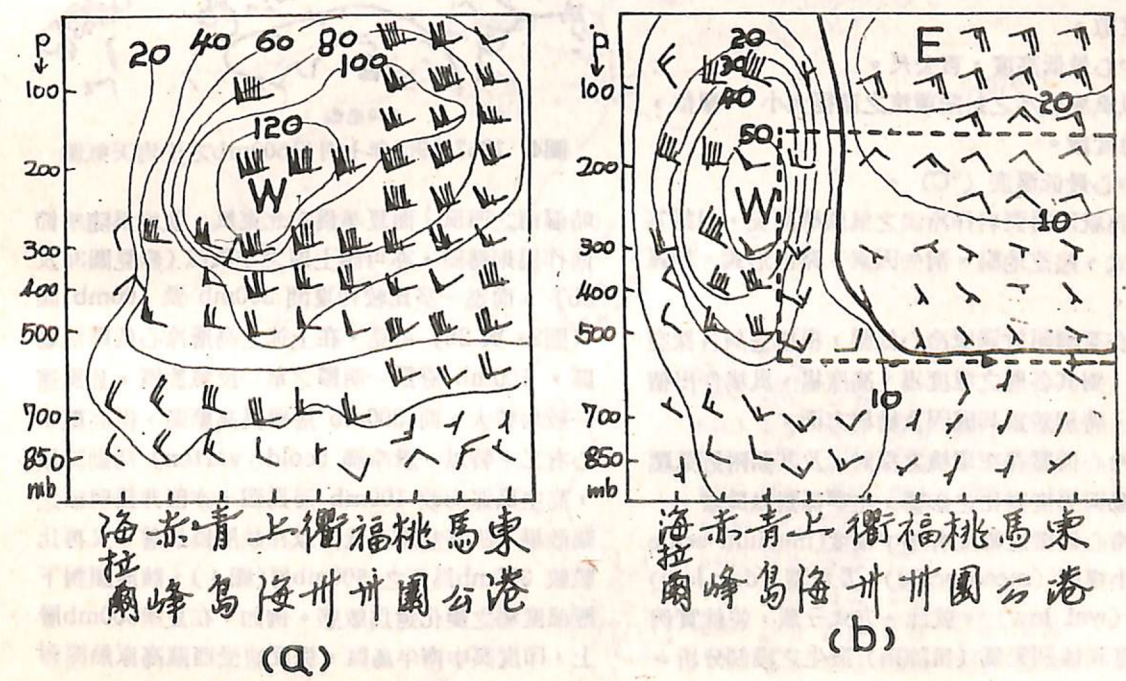


圖 3、1969 年 (a) 1 月份及 (b) 8 月份沿 120°E 經線之高空風剖面圖，粗斷線表冷渦出現之區域範圍。

(2)就經過臺灣區域之重要冷渦個例，作出天氣圖及探空資料之分析。

(3)就發現之有關問題，作廣泛之討論。

必須特別強調說明，本報告僅為對吾人有關區域，及對本問題之初步氣候與天氣圖上之調查分析，進一步之研究，非本文之範圍，望繼續行之。期對此現時尚屬神奇現象(mystery) (Frank, 1970) 增加認識，獲窺堂奧，並進而有助於解決臺灣區域夏季之天氣預報。

二、研究方法及延用資料

此處有關東亞及西太平洋區域冷心低壓研究分析係基於下述之構想：

(1)就最近15年(1963-1977)，6至9月，100°E-155°E，15°N-40°N間之高空冷心低壓出現及動態、強度等作出分析統計，參用之基本天氣圖為300mb圖。首先為就該15年資料，重作事後分析，藉免人為誤差，或由於其幅度不大，分析時被忽略，而後作出有系統之統計。其整理方式為就間隔12小時300mb圖上，作出下述方式之冷心低壓資料：

00 25
2.0 ⊗ 6.5
960 -35

00—時間(Z)

25—日期

2.0—以30動力公尺等高線所決定之冷渦直徑，緯度數。

960—中心最低高度，百公尺。

6.5—以風場所示之封閉環流之直徑大小，單位，緯度數。

-35—中心最低溫度(°C)。

(2)再就所得資料作冷渦之氣候學調查，包括其生成模式、起訖地點、消失因素、路徑形式、地區分佈等。

(3)在臺灣附近過境冷心低壓，根據臺灣各探空站資料，對其各層之溫度場、高度場、風場作出個案分析，特別着重其成因及結構方面。

(4)冷心低壓存在環境之探討，及其對附近氣壓系統運動與強度變化之影響，主要係對颱風者。

(5)冷心低壓之幅度有屬中幅度(medium-scale)及中小幅度(meso-scale)，及乾型(dry-low)，濕型(wet low)。就此一方式分類，並就實例求作對臺灣猛烈天氣(雷陣雨)發生之機制分析。

三、冷心低壓活動區域之基本環流場

在未作冷心低壓之分析討論之前，此處就本專題所討論區域，何以特宜冷低發展及活動之背景環境，作一分析。

圖1a-b及圖2a-b為1957-1961年一月及七月之300mb與100mb月平均氣壓形勢及風場分佈圖(戚啓勳, 1970)。圖3a-b為沿120°E線上自地面至100mb，一月份及七月份之高空風剖面圖。藉各圖可見於冬季(以一月份為代表)300mb及100mb，上述區域均屬極地強勁西風之活躍區域。特以冷心低壓活動中心區之300mb層上，係為全球最強之噴射氣流軸線變動所在，不可能存在類此中小幅度之氣旋式封閉環流。但於夏季(此處以七月份為代表)在上述區域(見虛線之方塊區)，其形勢恰為相反，無論300mb層及100mb層均然，即：冬季為環極西風帶之主流所在，而夏季恰屬副熱帶高壓帶，特以近28°N以南區域，風向與冬季者完全相反，且與低層季風區域氣流恰為異趣。低層：冬季為東北風，夏季略為西南風。上層：冬季為



圖4 1957-1961年七月份500mb之平均天氣圖

略偏南之西風，而夏季為東北東風，並均為隨季節而作規則轉變，亦可謂上層之季風區(參見圖3a及3b)。而進一步比較仲夏間300mb及100mb圖(圖2a與2b)可見，在上述之高層冷心低壓活動區，100mb層為一明顯之單一反氣旋區，且風速一般均較大。而300mb層雖為高壓區，但高壓中心有二。特以一般冷渦(cold vortex)活動區域，高空風速均較100mb層為弱，亦即非為明顯之輻散場。故高空冷心低壓以在該層為最著。又再比較較300mb為低之500mb層(圖4)，該層顯對下層溫度場之變化遠為敏感。例如，在夏季500mb層上，印度與中南半島區，係反映受西藏高原熱源影

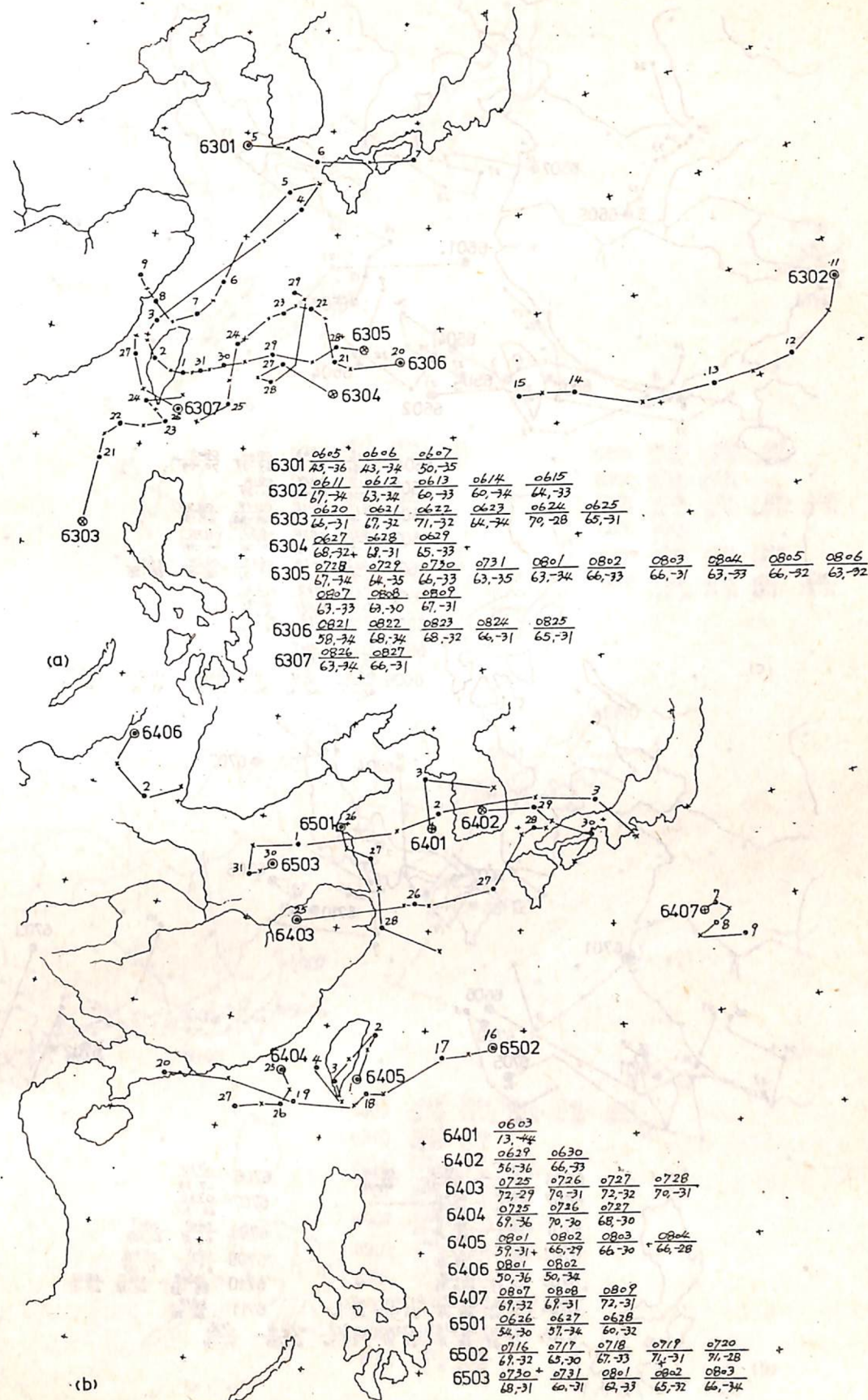
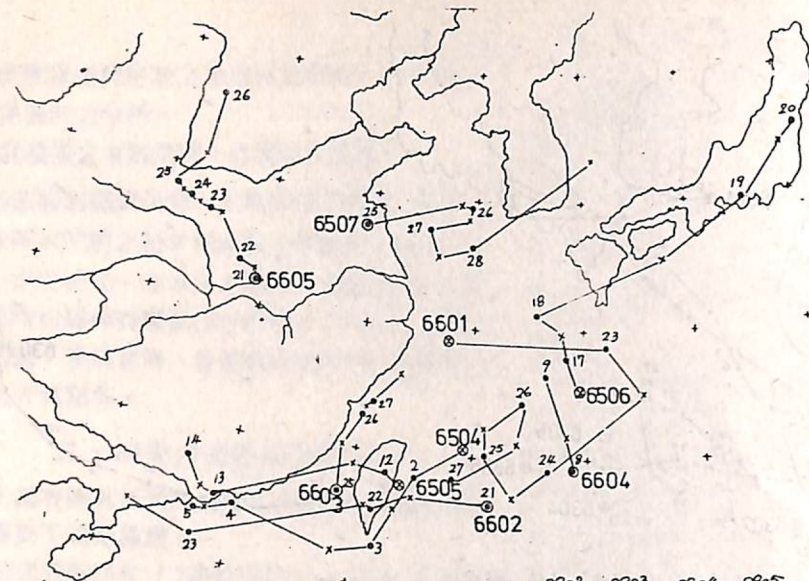
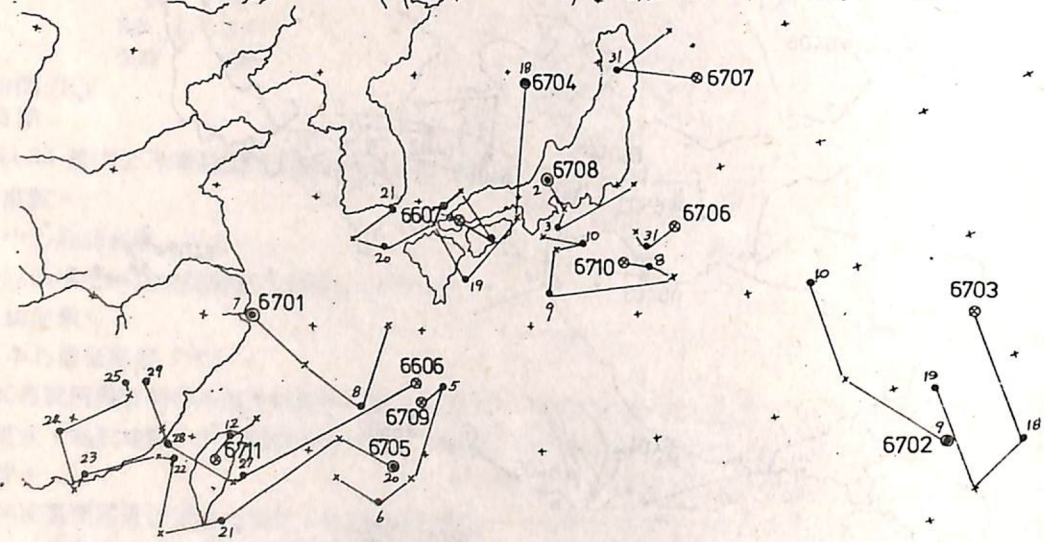


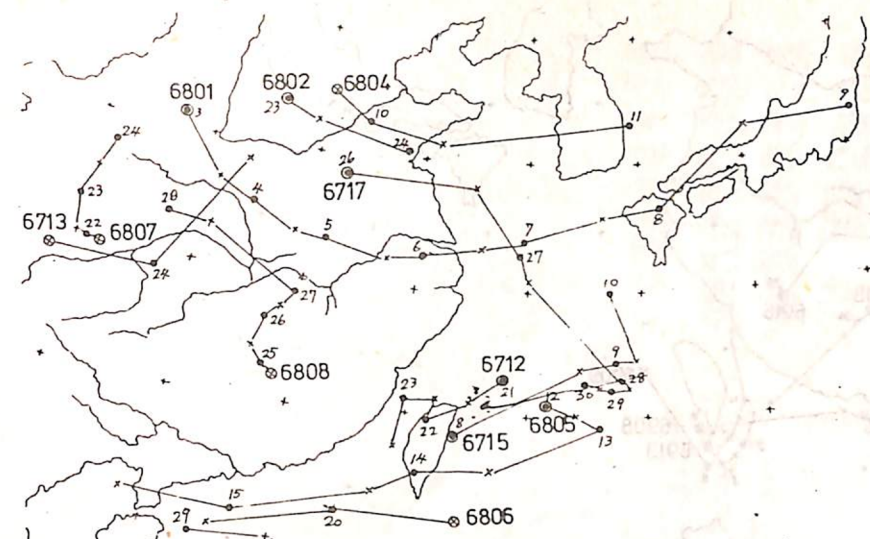
圖5、1963-1977年計15年間6至9月東亞及西太平洋區域300mb層冷渦運動及強度變化圖



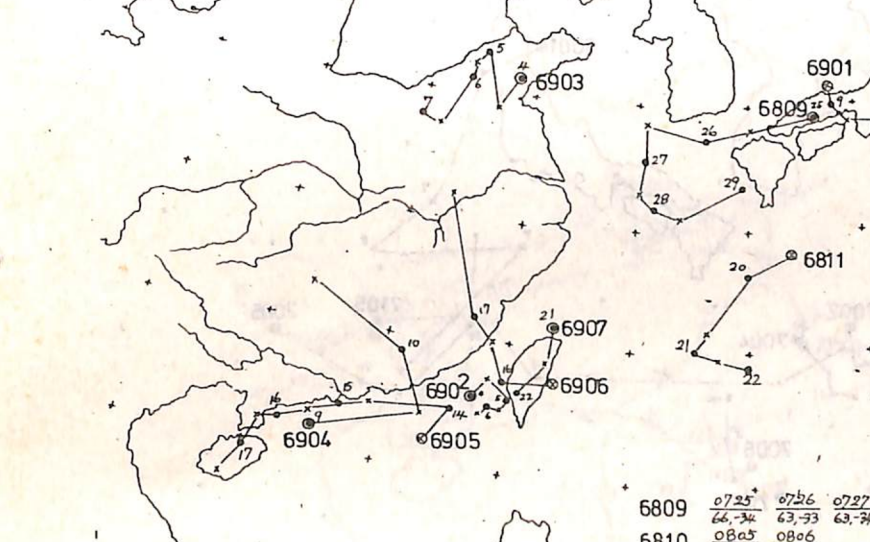
6504	0802 66-30	0803 67-30	0804 69-29	0805 70-28
6505	0812 67-34	0813 64-33	0814 71-29	
6506	0817 65-33	0818 70-33	0819 68-35	0820 69-31
6507	0825 63-33	0826 63-33	0827 60-35	0828 60-34
6601	0623 66-32	0624 66-31	0625 67-31	0626 66-28
6602	0721 67-32	0722 66-31	0723 66-32	
6603	0725 67-31	0726 67-27	0727 69-29	
6604	0808 72-31	0809 67-29		
6605	0824 48-31	0822 48-32	0823 50-31	0822 52-29



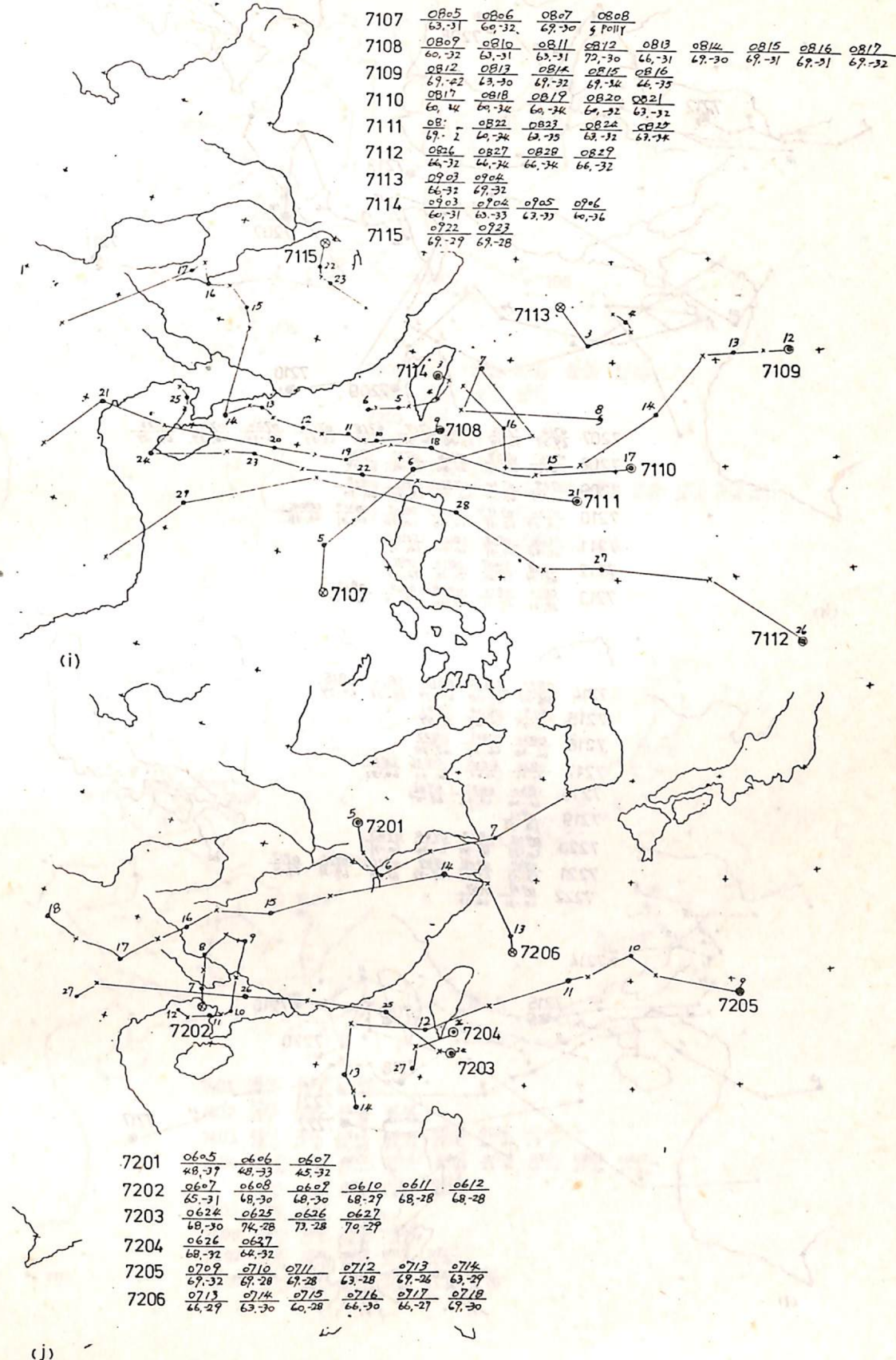
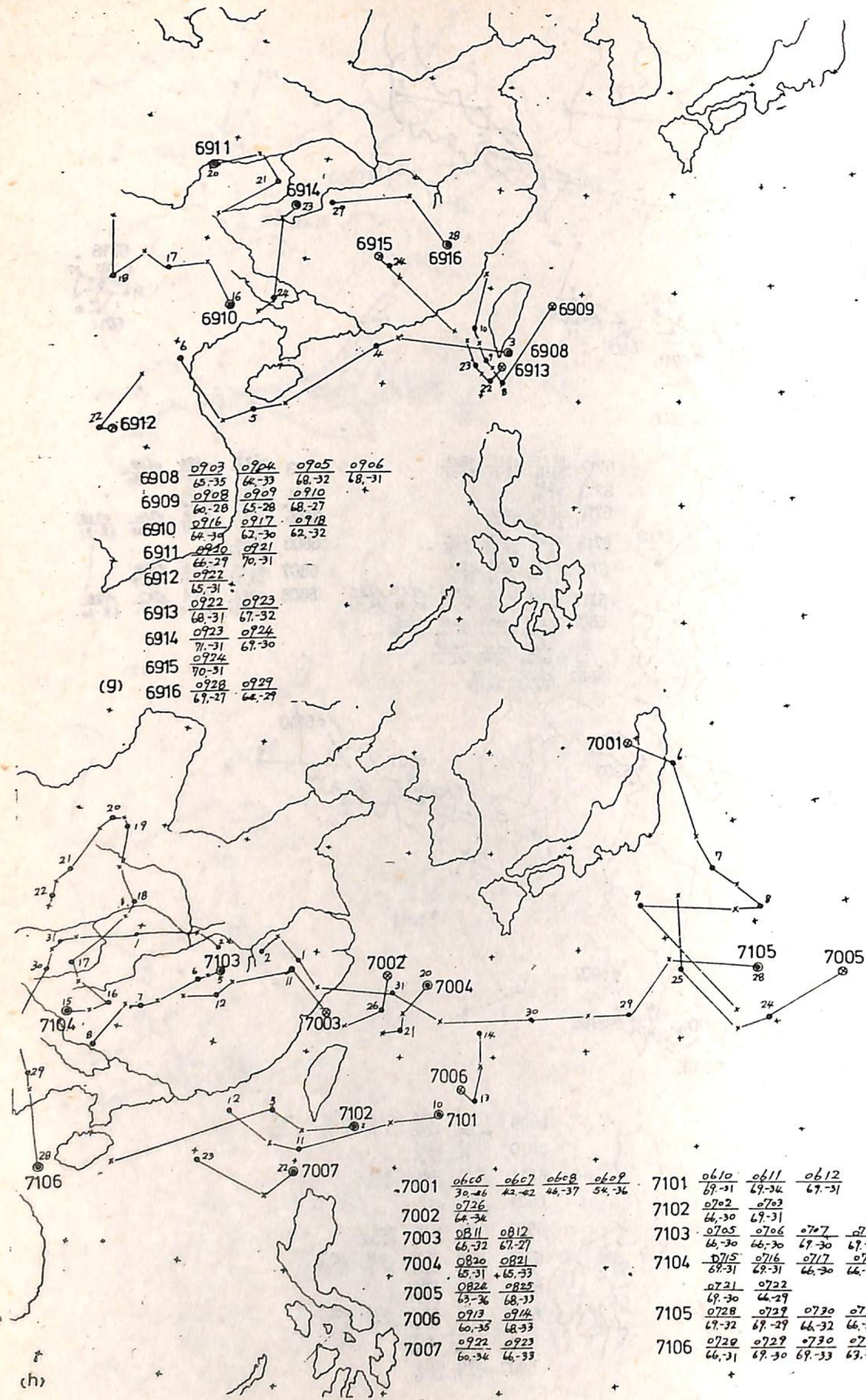
6606	0827 67-32	0828 69-32	0829 66-31	
6607	0827 67-35	0830 69-30		
6701	0607 55-31	0608 56-29		
6702	0709 67-31	0710 72-36		
6703	0718 62-33	0719 48-31		
6704	0718 57-36	0719 69-31	0720 64-31	0721 67-30
6705	0720 64-33	0721 64-31	0722 67-30	0723 67-30
6706	0730 67-34			
6707	0730 66-30			
6708	0802 61-33	0803 61-29		
6709	0805 67-31	0806 71-33		
6710	0808 57-35	0809 60-35	0810 67-31	
6711	0812 66-28			



6712	0821 79-31	0822 67-31	0823 71-32	
6713	0824 71-30			
6714	0830 65-36	0831 57-38		
6715	0908 70-31	0909 69-35	0910 70-31	
6716	0926 41-43	0927 41-40	0928 57-32	0929 65-32
6717	0926 41-43	0927 41-40	0928 57-32	0929 65-32
6801	0603 48-40	0604 51-40	0605 51-40	0606 48-40
6802	0607 45-43	0608 39-43	0609 42-41	
6803	0623 54-36	0622 54-35		
6804	0627 60-32	0628 66-31	0629 69-30	
6805	0712 66-31	0713 69-31	0714 66-35	0715 69-31
6806	0720 69-32			
6807	0722 63-32	0723 66-31	0724 69-29	
6808	0725 67-30	0726 69-30	0727 69-31	0728 69-30

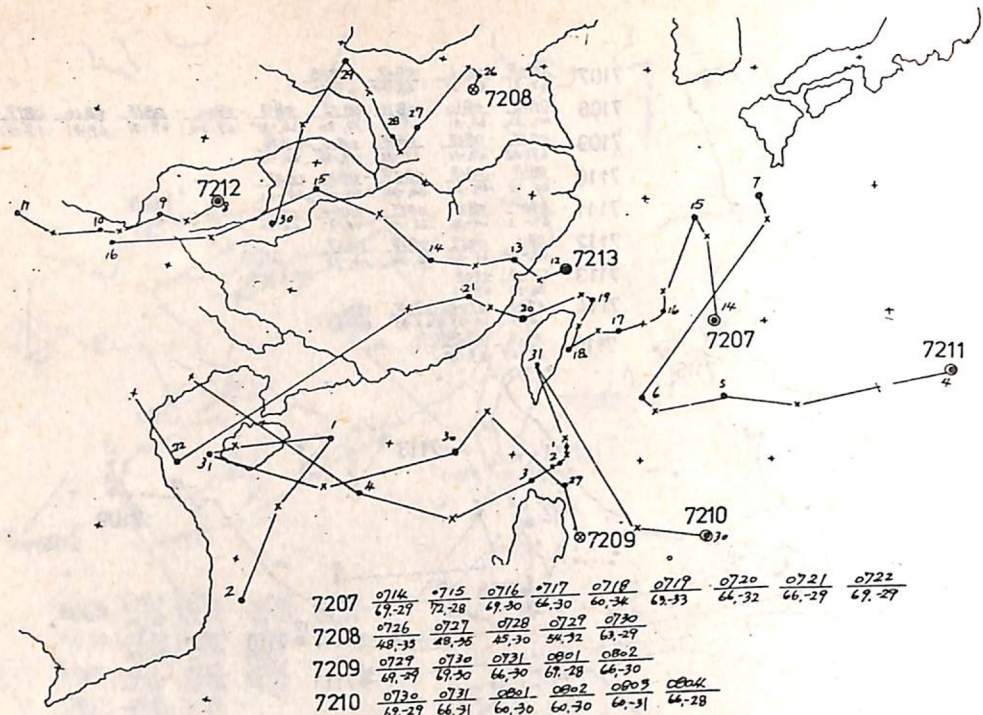


6809	0725 66-34	0726 63-33	0727 63-34	0728 64-28	0729 60-26
6810	0805 66-33	0806 63-31			
6811	0820 69-33	0821 67-33	0822 72-30		
6901	0609 38-43	0610 51-35			
6902	0804 65-29	0805 67-27	0806 66-30		
6903	0804 60-26	0805 64-27	0806 70-28	0807 70-27	
6904	0809 70-28	0810 70-27			
6905	0814 69-31	0815 58-31	0816 68-31	0817 64-32	
6906	0816 63-35	0817 67-33			
6907	0821 69-31	0822 68-32			



(h)

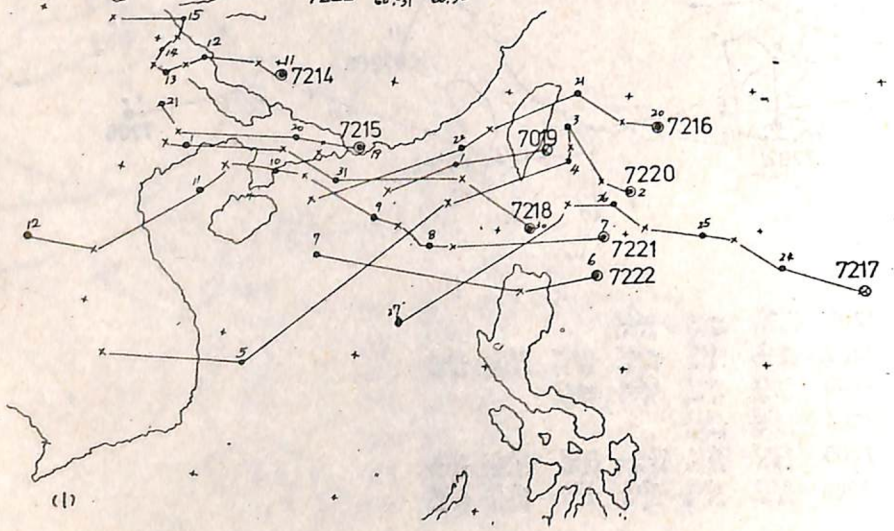
(i)



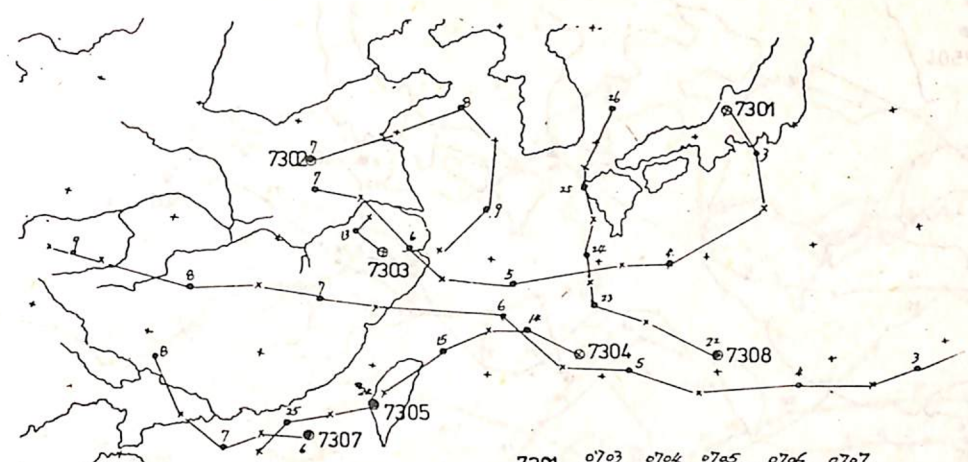
7207	0714 67-27	0715 72-28	0716 67-30	0717 64-30	0718 60-34	0719 63-33	0720 64-32	0721 66-29	0722 67-27
7208	0726 48-35	0727 48-36	0728 45-30	0729 54-32	0730 63-29				
7209	0727 67-27	0730 67-30	0731 64-30	0801 67-28	0802 64-30				
7210	0730 67-27	0731 66-31	0801 60-30	0802 60-30	0803 64-31	0804 64-28			
7211	0804 67-30	0805 67-31	0806 60-30	0807 64-31					
7212	0808 67-27	0807 72-26	0810 72-28	0811 72-28					
7213	0812 67-31	0813 67-31	0814 67-30	0815 67-27	0816 66-30				

(k)

7214	0811 67-27	0812 67-30	0813 67-27	0814 64-31	0815 67-27
7215	0819 67-27	0820 67-27	0821 72-27		
7216	0820 66-34	0821 66-33	0822 67-30		
7217	0824 67-31	0825 67-31	0826 60-33	0827 60-32	
7218	0830 66-34	0831 63-34	0901 67-27		
7219	0901 63-33	0902 63-35	0903 60-34	0904 60-31	0905 60-31
7220	0907 63-32	0908 63-32	0909 67-32	0910 67-31	0911 67-31
7221	0909 60-31	0907 66-31			
7222					

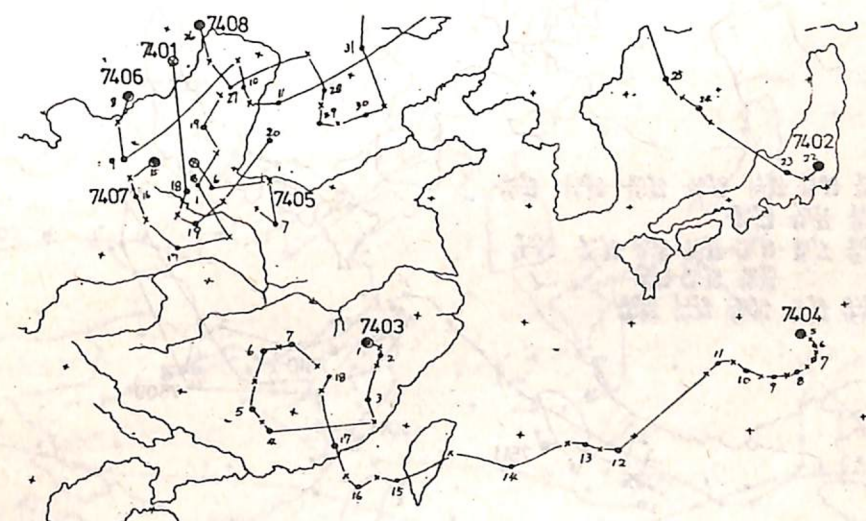


(l)



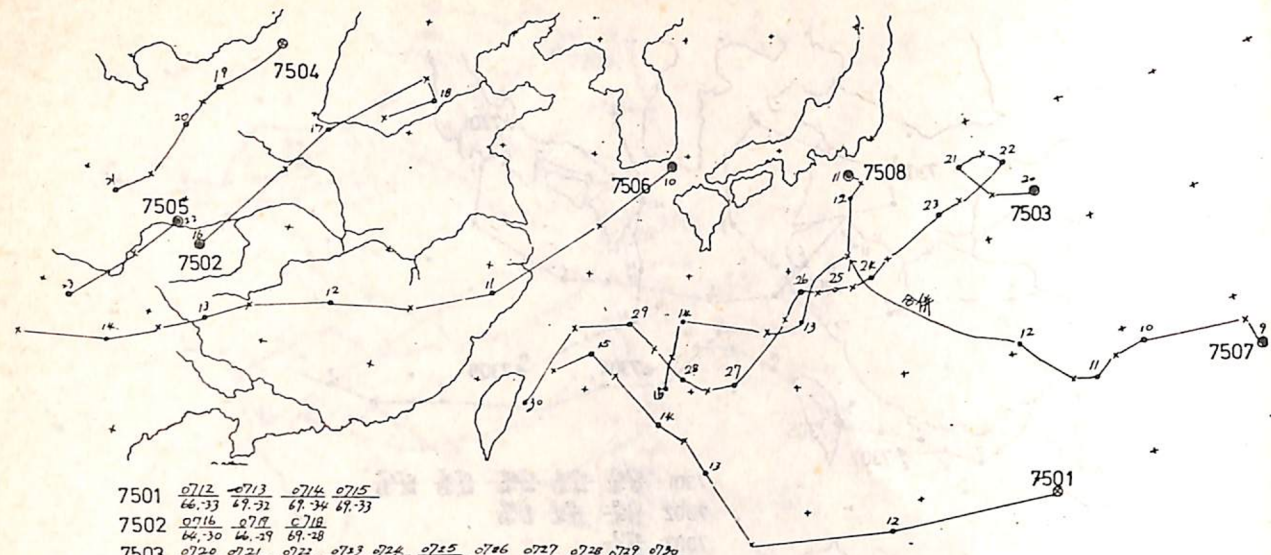
7301	0703 55-34	0704 60-33	0705 60-34	0706 66-33	0707 66-33
7302	0707 67-30	0708 67-30	0709 60-37		
7303	0713 67-30				
7304	0714 67-31	0715 67-30			
7305	0724 67-27	0725 66-28			
7306	0801 60-35	0802 66-34	0803 60-36	0804 60-33	0805 64-33
7307	0806 67-32	0807 66-31	0808 63-33	0809 67-33	0810 60-30
7308	0821 60-37	0822 63-35	0824 64-32	0825 47-34	0826 64-35

(m)



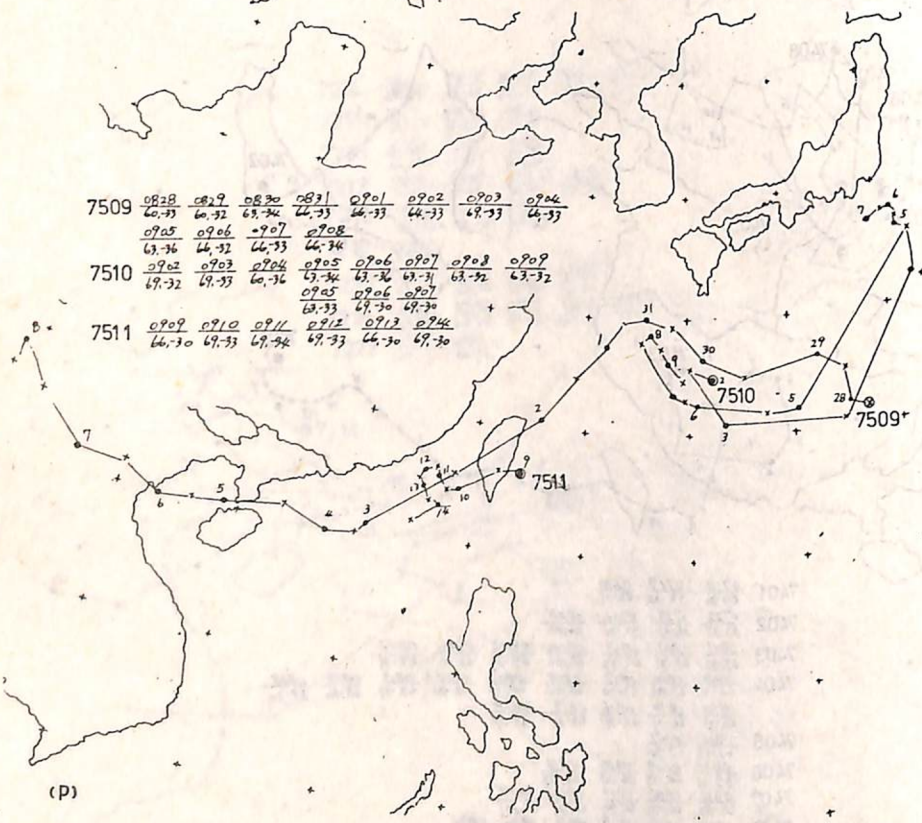
7401	0718 60-34	0719 36-35	0720 63-31		
7402	0722 53-37	0723 54-37	0724 53-34	0725 54-30	
7403	0801 67-32	0802 67-31	0803 64-32	0804 69-30	0805 66-31
7404	0802 66-34	0806 67-32	0807 63-30	0808 60-33	0809 63-30
7405	0814 66-31	0819 66-31	0816 66-31	0817 63-30	0818 67-27
7406	0806 67-33	0807 67-30			
7407	0808 57-31	0809 64-37	0810 54-35	0811 54-35	
7408	0815 63-37	0816 66-31	0817 64-30	0818 64-31	0819 64-31

(n)



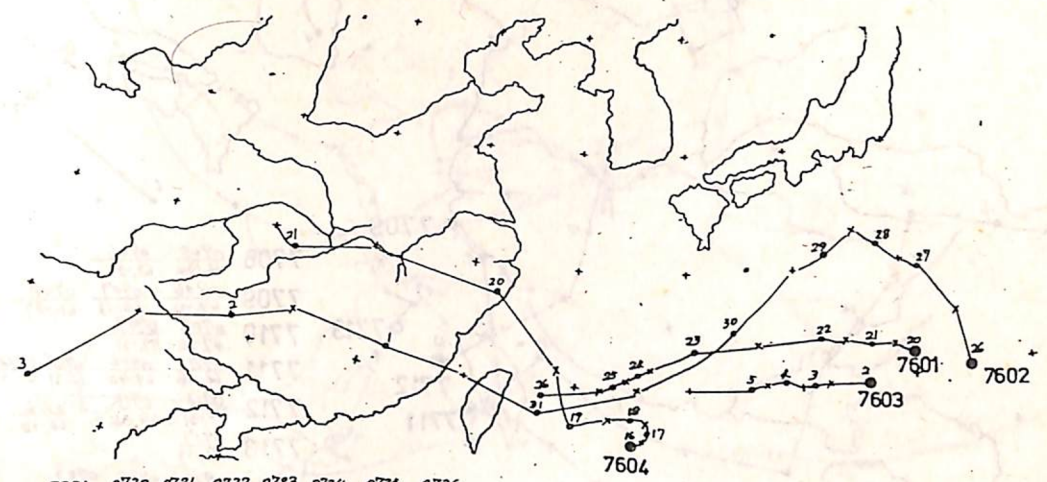
7501	0712	0713	0714	0715							
	66-33	67-32	67-34	67-33							
7502	0716	0717	0718								
	66-30	66-29	67-28								
7503	0720	0721	0722	0723	0724	0725	0726	0727	0728	0729	0730
	63-22	63-31	63-33	63-31	63-32	64-31	64-30	64-31	64-31	64-31	64-27
7504	0817	0820	0821								
	63-35	63-33	64-31								
7505	0822	0823									
	60-30	61-27									
7506	0810	0811	0812	0813	0814						
	60-35	60-34	60-34	60-34	60-30						
7507	0827	0810	0811	0812							
	64-37	64-36	64-32	64-32							
7508	0811	0812	0813	0814	0815						
	63-33	60-34	63-31	64-32	64-31						

(o)



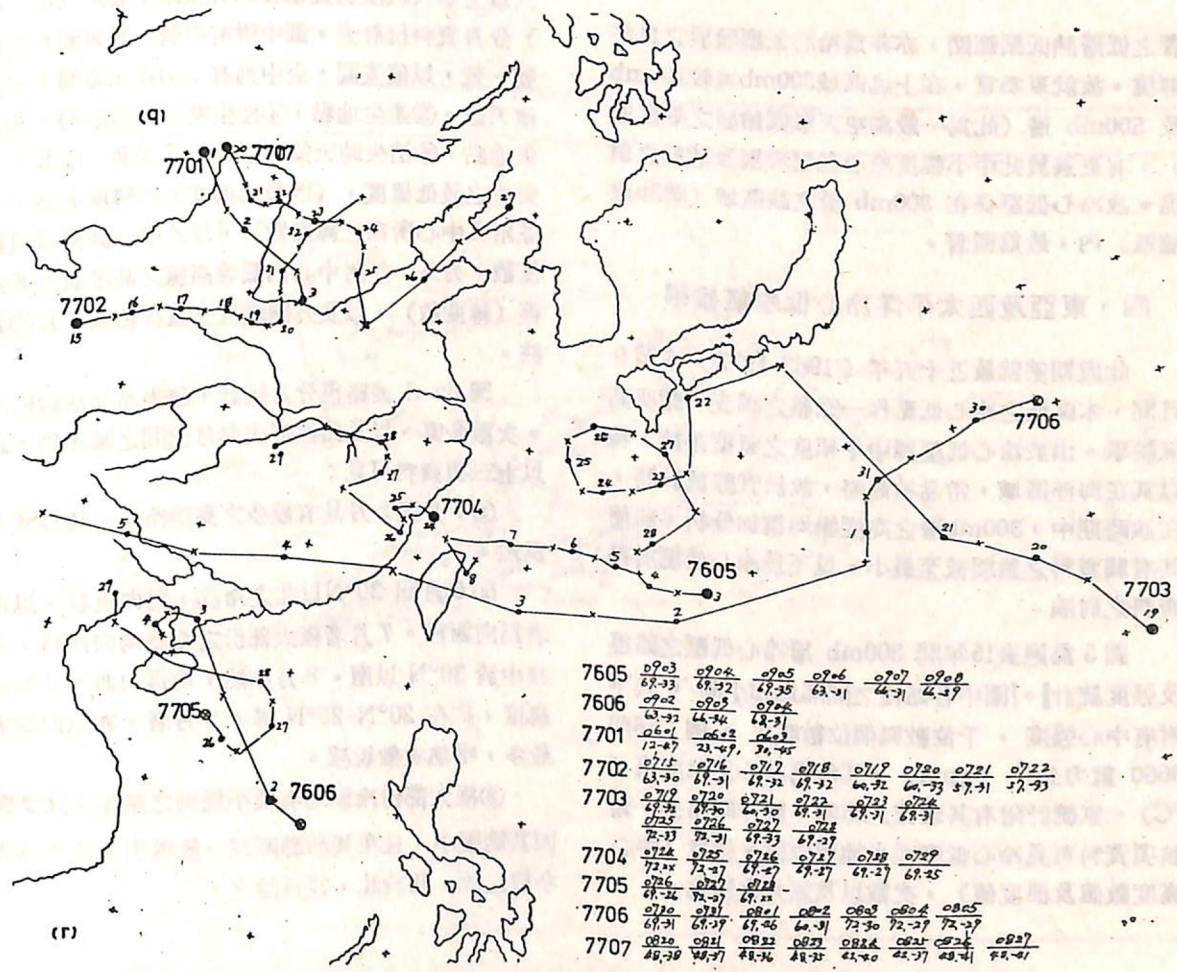
7509	0828	0829	0830	0831	0901	0902	0903	0904
	60-33	60-32	60-34	64-33	64-33	64-33	64-33	64-33
	0705	0906	0907	0908				
	63-36	64-32	66-33	66-34				
7510	0902	0903	0904	0905	0906	0907	0908	0909
	69-32	69-33	60-34	63-34	63-36	63-31	63-32	63-32
			0705	0906	0907			
			63-33	67-30	67-30			
7511	0909	0910	0911	0912	0913	0914		
	66-30	67-33	67-34	67-33	66-30	67-30		

(p)



7601	0720	0721	0722	0723	0724	0725	0726	
	67-30	66-31	67-30	64-32	67-31	67-30	67-30	
7602	0726	0727	0728	0729	0730	0801	0802	0803
	67-30	66-34	63-33	63-34	64-37	60-30	64-33	64-33
7603	0802	0803	0804	0805				
	60-32	67-32	64-33	64-33				
7604	0816	0817	0818	0819	0820	0821		
	67-31	67-32	67-34	64-31	67-32	67-31		

(q)



7605	0903	0904	0905	0906	0907	0908		
	67-33	67-32	67-35	63-31	64-31	64-27		
7606	0902	0903	0904					
	63-32	64-34	64-31					
7701	0601	0602	0603					
	72-27	72-27	70-25					
7702	0715	0716	0717	0718	0719	0720	0721	0722
	63-30	67-31	67-32	67-32	60-32	64-33	67-31	67-33
7703	0719	0720	0721	0722	0723	0724		
	67-32	67-30	64-30	64-31	64-31	64-31		
	0725	0726	0727	0728				
	72-33	72-31	67-33	67-37				
7704	0724	0725	0726	0727	0728	0729		
	72-24	72-27	67-27	67-27	67-27	67-25		
7705	0726	0727	0728					
	64-34	72-27	67-33					
7706	0720	0721	0801	0802	0803	0804	0805	
	67-31	67-27	67-26	60-31	72-30	72-27	72-27	
7707	0820	0821	0822	0823	0824	0825	0826	0827
	68-28	68-27	68-26	68-25	68-24	68-23	68-21	68-21

(r)

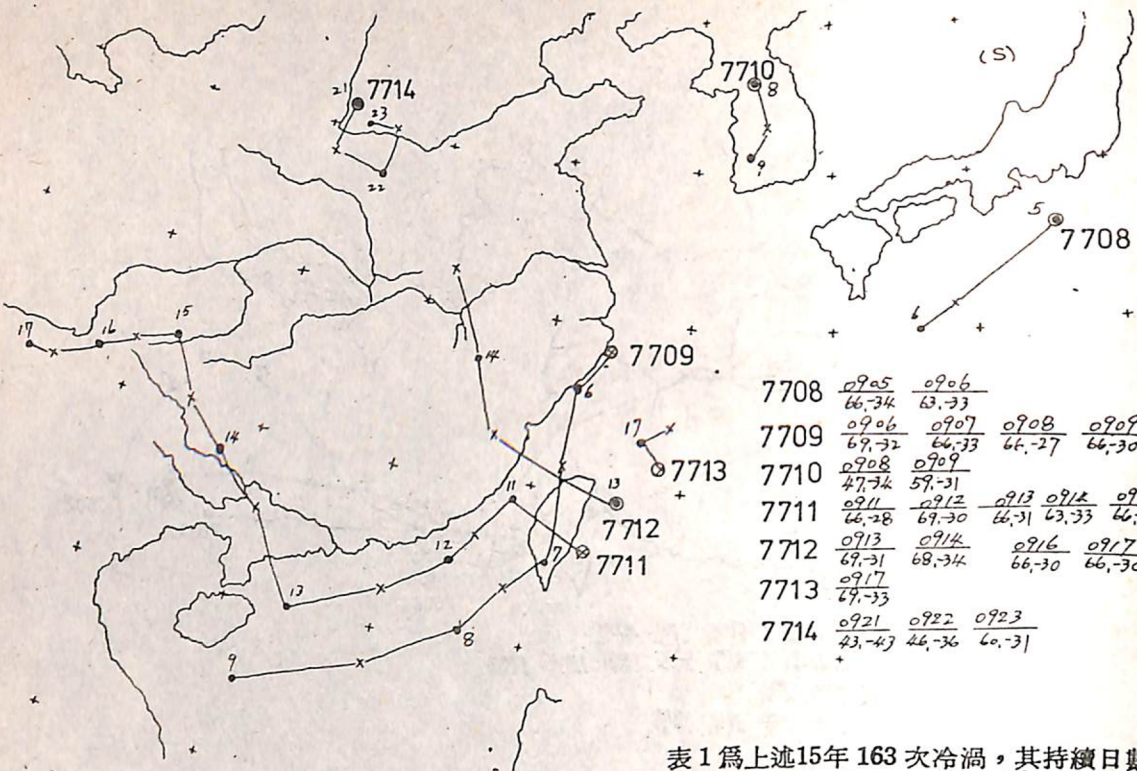


表1為上述15年163次冷渦，其持續日數達5天以上者（因限於篇幅在此日數以下者未列本表中）分月資料統計表，圖中附有編號，藉與圖5之編號一致，以備查閱，表中列有：①存在時間，②持續天數，③產生地點，④產生時天氣圖形勢，⑤消失地點，⑥消失時天氣圖形勢，⑦強度，即其生命史中之最低溫度，（因最低溫度又與緯度有關，故並附其中心所在之緯度數），以及中心高度值與緯度數。另外，並附中心內圈等高線之高度值及其直徑（緯度數），以及外圈環流之直徑範圍，及⑧備註。

響之低層熱低壓範圍，亦非為冷心低壓發展之良好環境。故就夏季言，在上述區域300mb遠較100mb及500mb層（此為一般高空天氣圖繪製之氣壓層），有更適於此中小幅度冷心低壓發展及活動之環境。故冷心低壓係在300mb層之該區域（圖3b虛線區）內，最為顯著。

四、東亞及西太平洋冷心低壓氣候學

此處期望就最近十五年（1963-1977）6至9月間，本區域之冷心低壓作一完整之調查，藉明其氣候學。由於冷心低壓屬中小幅度之氣壓系統，特以其在海洋區域，常易被忽略，故於實際統計時，在該時期中，300mb層之高度場均重加分析，務使其有關資料之差誤減至最小。以下為冷心低壓所得資料之討論。

圖5為過去15年間300mb層冷心低壓之路徑及強度統計。圖中各路徑之間隔為12小時，其下附有中心強度，千位數與個位數略去。例：66即9660重力公尺（gpm）。其傍為冷心之溫度值（°C）。原統計附有其環流之範圍，製作時略去。藉該項資料可見冷心低壓產生地理位置、強度（中心高度數值及溫度值），次數以及逐月之變化。

圖6a-d表路徑分月統計，藉表冷低活動區域、次數多寡、以及路徑形式與月份間之關係等。藉以上三項資料可見：

①7月與8月具有最多之高空冷渦，特以8月為然。

②6月間30°N以北之冷渦，為向東移，以南者為向西移。7月者極大部份之冷渦均向西移，且集中於30°N以南。8月亦然，均為向西，其集中緯度，約在20°N-25°N區。9月者，亦以向西者最多，唯總次數銳減。

③極大部份冷渦均有極不規則之路徑，此實際因其範圍小，且在其活動區域一般導引氣流均弱而多變之故。關於此，後再論之。

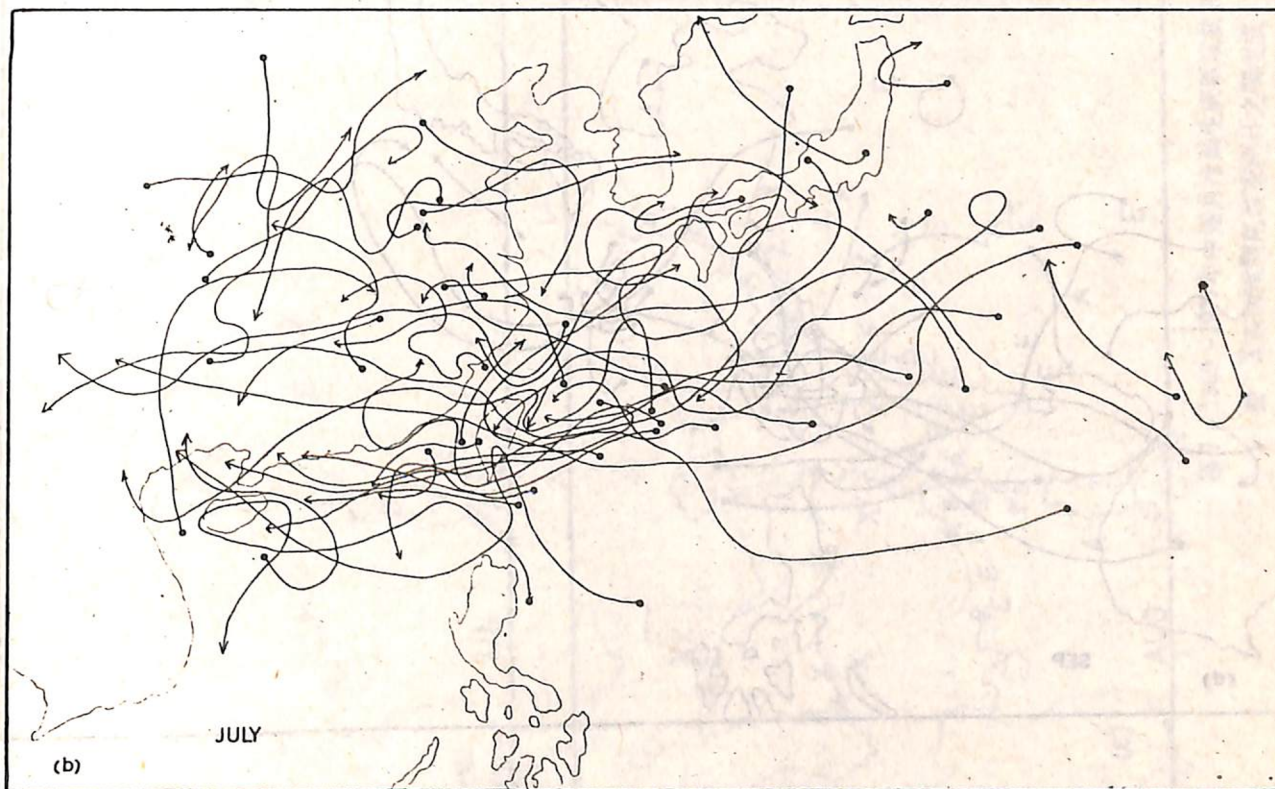
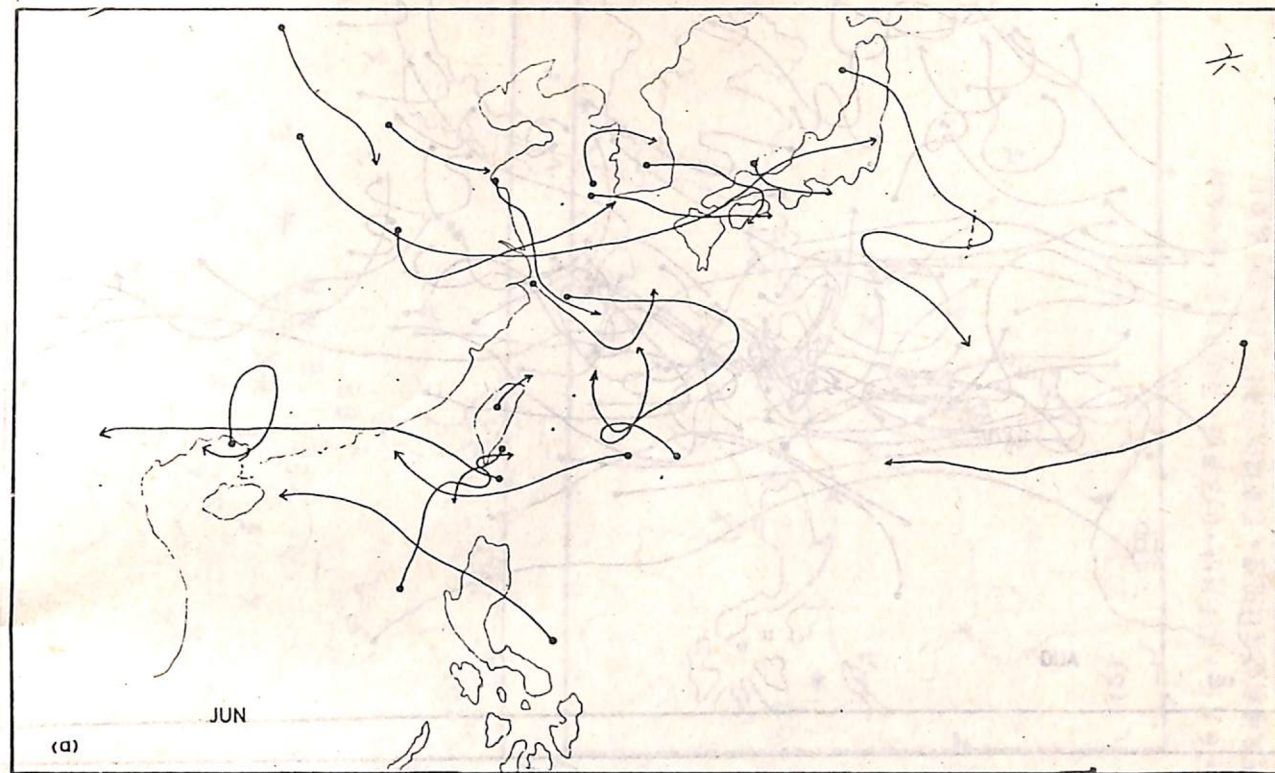


圖6、1963-1977年中冷渦路徑分月統計。(a)6月份，(b)7月份，(c)8月份，及(d)9月份。

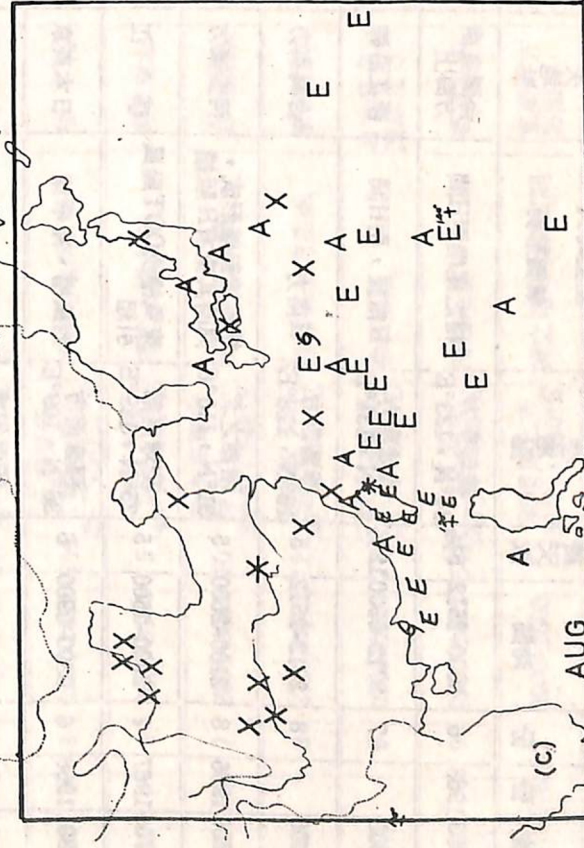
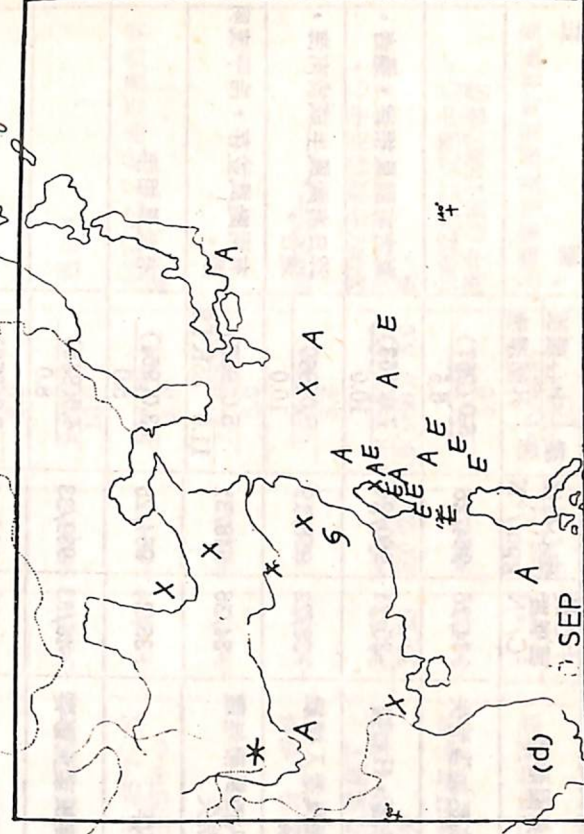
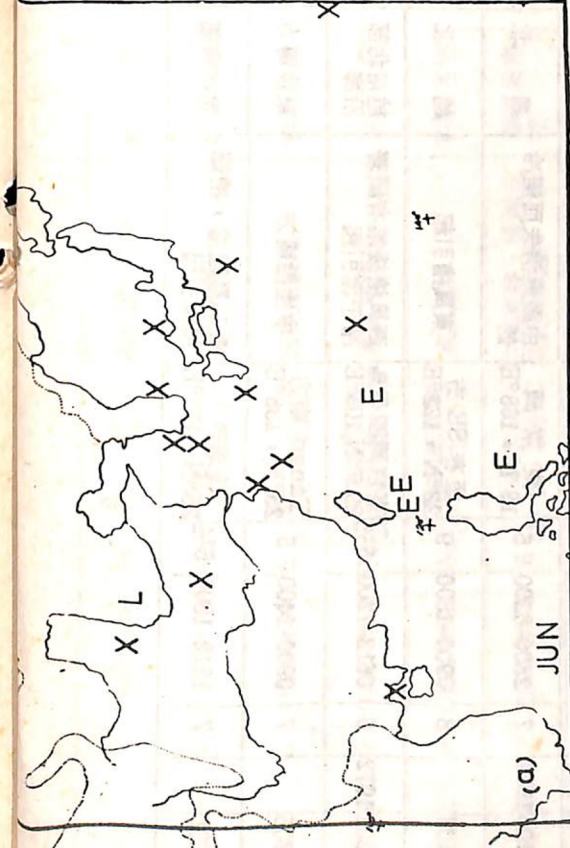
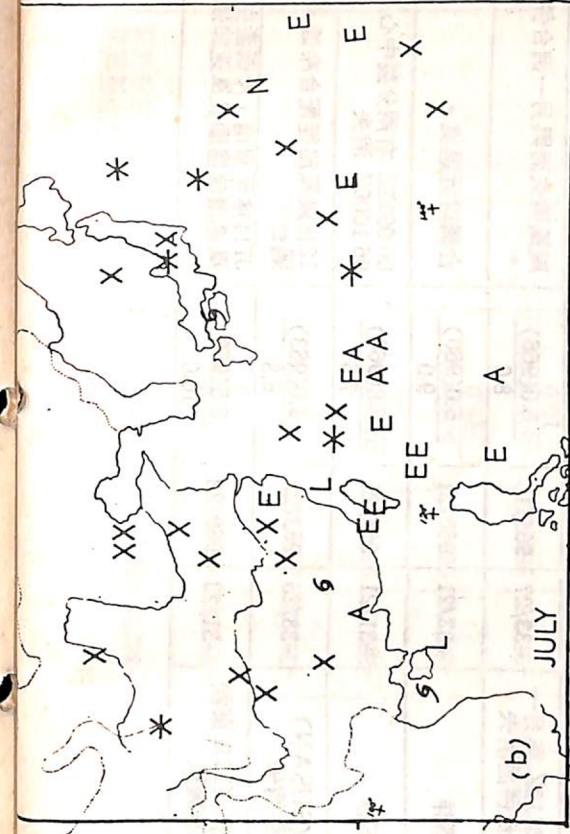
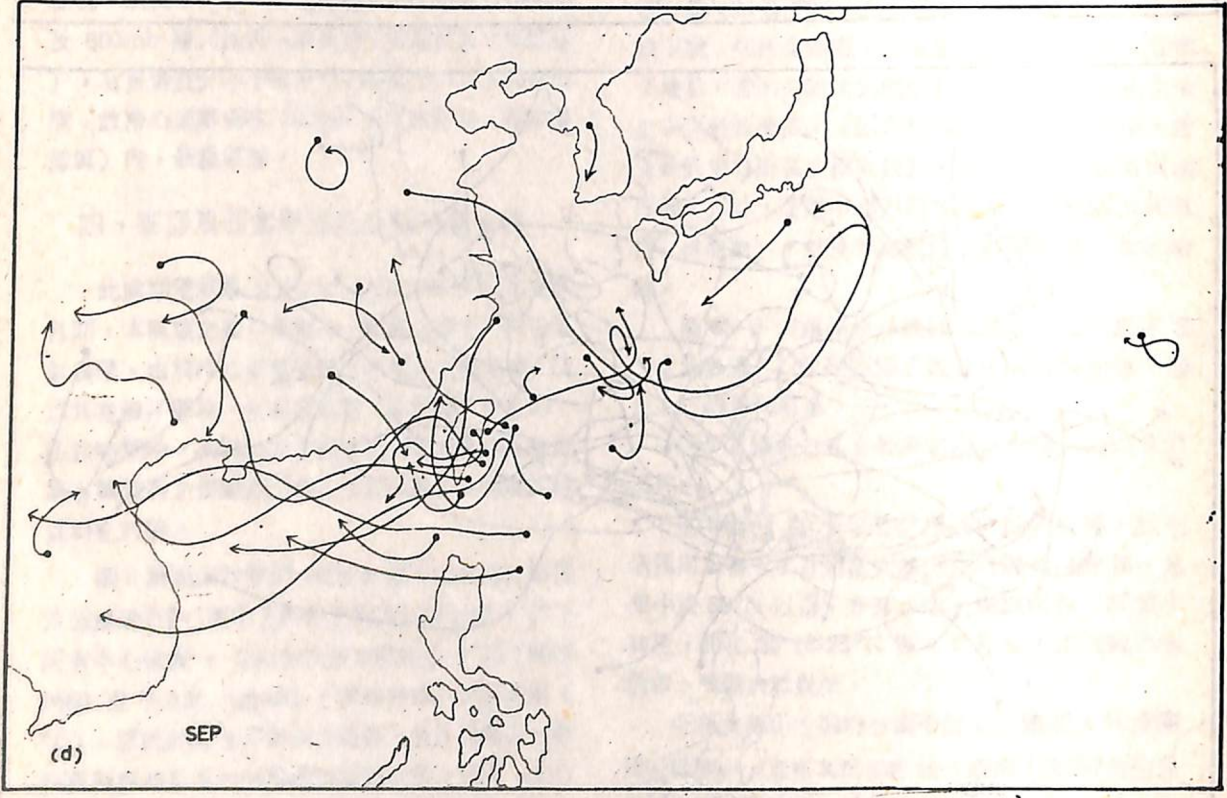
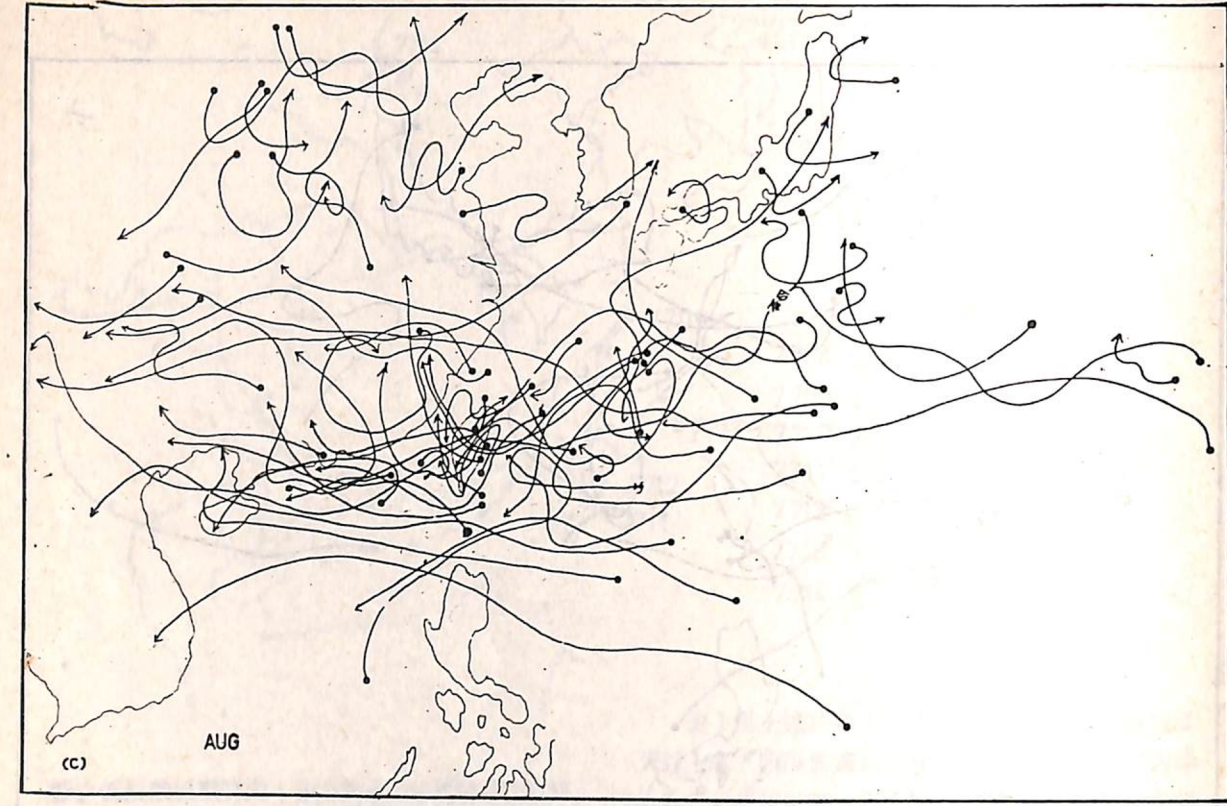


圖 7、1963、1977年中逐月冷渦生成區域統計。(a) 6 月份, (b) 7 月份, (c) 8 月份, 及 (d) 9 月份。圖中各符號: X 表西風槽尾端或兩 H 之間生成, * 西風槽前並有 H 阻擋, E 東風槽或兩 H 之間生成, S 颱風引起, L 低壓環流分裂, A 其他。

表 1. 1963-1977 年計凡 163 次冷渦中，持續日數達 5 天以上之冷渦分年資料統計表（各路徑編號參見圖 5）

編號	年份	月份	存在時間	持續天數	產生地點	產生時天氣圖形勢	消失地點	消失時天氣圖形勢	強 度			備 註
									中心最低溫度 °C/°N	中心高度 gpm/°N	環流 中心環流 外圍環流	
6303	1963	6	2000-2512	5½	琉球東方 24°N, 133°E	槽之尾端兩H間	台灣東南 方海上	受高壓加強消失	-34/26	964/26	5.0(967) 6.5	
6305		7	2712-0900	12½	琉球南方 24°N, 131°E	H南緣，兩H間	浙江沿海	T升高，H加強	-35/24	960/24	7.0(963) 10.0	東方有颱風相伴，過台。
6306		8	2012-2512	5	菲島西方 16°N, 118°E	H南方	台灣東方	受颱風進入槽線 減弱	-38/22	958/19	5.0(960) 10.0	22日有颱風生成於南海， 過台。
6605	1966	8	2100-2600	5	兩湖之北 31°N, 115°E	槽尾端割離形成， 同時其東有H阻擋	河套東方	移入西風帶無環 流消失	-34/36	948/31	5.0(953) 11.0 85KTS	有兩颱風並存，冷平流明 顯。
6705	1967	7	2000-2500	5	琉球南部 25°N, 129°E	東風槽及DOT颱風 引起	浙 江	不詳	-35/24	964/25	3.0(964) 5.0	有颱風相伴
6801	1968	6	0300-0900	6	河套南方 36°N, 109°E	西風槽、冷平流	日本東京	受颱風環流影響	-46/33	939/33	4.0(948) 8.0	
7104	1971	7	1500-2212	7½	廣西省境 25°N, 116°E	兩H間	四 川	不詳	-32/25	966/29	3.0(969) 7.0	
7106	1971	7	2800-0200	5	東京灣 18°N, 108°E	由颱風消失而變冷 低	湖 北	080112Z 與另一 例合併而消失	-33/27	966/18	5.0(966) 8.0	颱風消失而與另一例合併
7108		8	0900-1800	9	恆春 SE 方 22°N, 122°E	東風槽引起	越 北	不詳	-32/21	960/21	5.0(960) 9.0	台灣附近過境。
7202	1972	6	0612-1200	5½	東京灣四州島 29.5°N, 109°E	西風槽後端有顯著 冷平流引起	越南北部 沿海	不詳	-31/21	965/21	6.8(960) 7.5	06 0912Z 有兩分裂中心 06 1000Z 消失
7205		7	0900-1400	5	Tango 南方 25°N, 136°E	中性點南方	東沙南方	與(SUSAN) 合併消失	-33/25	963/22	4.0(963) 6.8	12日颱風路徑配合冷低， 過台。
7206		7	1212-1800	5½	琉球西方 26°N, 125°E	受高壓阻擋，槽線 加深引起	雲南南部	不詳(12日東沙 島有颱風)	-31/23	960/23	3.5(960) 10.0	0714移至華南，冷低產生 風場環流明顯且風速加強

7207		7	1400-2212	7½	琉 球 25°N, 129°E	颱風環流引起	越 南	不詳(於兩H間 同時有三冷低)	-34/24	960/24	4.0(969) 8.0	於 13 12Z 因冷平流顯著 而引起有颱風及三冷低並 存。過台。
7210	1972	7	3000-0512	6½	菲東洋面 17°N, 128°E	數小高壓間	越 北	不詳	-31/19	960/15	6.0(960) 12.0	發生原因特殊
7214		8	1100-1600	5	桂 林 25°N, 110°E	西風槽後端	雲南省境	不詳	-31/28	966/26	4.5(969) 9.0	
7221	1972	9	0700-1212	5½	巴士海峽東方 20°N, 125°E	東風槽引起	寮 國	T 上升	-33/19	963/19	5.0(963) 12.0	
7306	1973	8	0112-0912	8½	馬爾庫斯東南 19°N, 155°E	東風槽	四川省境	不詳	-36/24	960/23	5.0(960) 15.0	
7402	1974	7	2200-3000	8	日本本州 36°N, 139°E	主槽東移，後端成 氣旋形低壓	庫頁島南 端	進入西風槽。	-37/36	950/45	5.0(953) 10.0	
7403		8	0100-0712	6½	杭州東方 28°N, 118°E	在槽線尾端及兩H 間	杭州西南	溫度上升	-33/28	963/28	3.5(966) 6.0	
7404		8	0512-1800	12½	日本東南 Tango附近 28°N, 137°E	槽線尾端兩H間	湖 南	受脊線影響消失	-34/29	960/26	9.0(966) 10.0	過台。
7408		8	2600-3100	5	河套西北 43°N, 106°E	槽之上端中心	河套東北	北移至 45°N 以 北成主槽中心	-42/43	942/39	5.0(945) 8.0	於 17 12 Z 此冷低最為明 顯。
7503	1975	7	2000-3000	10	日本東南方 海上 32°N, 148°E	槽之尾部斷裂	台東東方	溫度上升	-33/25	963/27	7.0(966) 8.0	
7509		8	2712-0812	12	琉球島 NW 27°N, 138°E	高壓東南方生成	泰國北方	溫度上升(資料 不足)	-36/20	960/21	6.0(966) 8.0	0902過台。
7510		9	0200-0912	7½	日本琉球間 28°N, 132°E	在H南緣	日古座南方 琉球北方	受颱風環流T上 升槽東移，其環 流消失	-36/33 -36/25	960/33 960/25	4.5(963)/10.0 5.0(960)/ 5.0	0500Z分裂為兩中心， 0612Z時其東及南方有颱風。
7511		9	0900-1412	5½	台東東方 23°N, 122°E	槽之尾部	香港外海	在分裂H南緣消 失	-34/23	963/23	3.0(966) 5.0	1000Z分裂成兩中心。 兩中心於1100Z合併
7601	1976	7	2000-2600	6	琉球島北方 26°N, 140°E	槽之尾端在兩H間	宜蘭東方 海面	高壓環流加強消 失	-32/27	966/24	7.0(966) 10.0	台灣東南及西南均有颱風
7602		7	2600-0300	8	琉 球 島 25°N, 142°E	在H南緣	泰國北方	高壓環流加強增 溫	-37/26	960/24	6.0(963) 12.0	

7604	7605	77021977	7703	77041977	7706	7707	7711
5 1/2	5 1/2	7 1/2	9 1/2	6	7	7 1/2	6 1/2
1600-2112	0300-0812	1500-2212	1900-2812	2400-2900	2912-0512	2000-2700	1012-1700
8	9	7	7	7	7	8	9
琉球南方 23°N, 127°E	琉球東南 24°N, 133°E	四川西北 33°N, 102°E	馬爾庫斯島 西南 20°N, 151°E	馬祖東北海上 27°N, 121°E	日本與馬爾 斯庫島間 30°N, 150°E	蒙古南方 44°N, 104°E	東 台 23°N, 122°E
兩H間生成	兩H間之東風槽	西風槽引起 兩H間風切線引起	兩H間槽之後端	低壓環流之西南端	不詳	槽線尾部生成	颱風環流引起
湖	基隆外海	河北省北 方	琉球東方	長	雲	韓國北部	昆明西 滇西縱谷
在H北方之西風帶	因颱風環流影響 消失	不詳	與 VERA 合併	與颱風合併	溫度上升	與其北方之槽合 併	消失於H範圍內
-35/24	-36/30	-33/34	-33/30	-29/27	-31/24	-41/34	-33/24
963/26	963/27	957/37	960/25	969/26	960/24	942/38	963/24
5.0(966) 7.0	5.0(966) X X	3.0(960) 7.5	4.0(969) 8.0	3.0(969) 4.0	4.0(972) 4.0	4.0(948) 7.6	2.5(963) 8.0
琉球附近有颱風，行進方 向與低壓同。		始終與槽線相伴。			與 8 月份產生者合併	始終與槽線相伴	

④極大部份冷渦之環流範圍均小，一般均在 8 個緯度，亦即約 500 海里以內。

⑤臺灣及其附近有最大之冷渦活動頻率。

另外，根據上述表 1 及圖 5 資料，可得以下各項統計。

圖 7 a-d 為上述表 1 及圖 5 計 15 年中冷心低壓生成地點之分月位置圖，圖中並註明生成原因。表 2 為冷低發生原因分月統計。藉圖及表可見：

① 6 月份生成者，以西風槽尾端生成最多，由東風波動中生成者僅 6 次，且均在 20°N 以南。

② 7 月份仍以西風槽尾端及東風波中生成者居多，以在臺灣以東附近生成者最常見。

③ 8 月份者形成區域更見集中，約在臺灣以東一帶，且在臺灣及附近形成者，主要均在副熱帶高壓之南之東風波動中生成為最多。

④ 9 月份生成次數又見銳減，生成區域仍以臺灣附近佔大多數。

⑤ 以地區言，生成於中國大陸及 30°N 以北者，均以源於西風槽者佔絕對多數。生成於臺灣及其以南區域者，則以源於東風波動中者佔絕對多數。

⑥ 藉表 2 可見由颱風環流引起冷低之次數有 9 次，佔 5.5 % 之比例。

另外，此處附列在該 15 年中，冷低持續日數如表 3。藉表可見持續 2 天者凡 79 次，佔總數百分之 48。持續 10 天以上者凡 4 次，持續 8 天與 9 天者共六次。持續 8 天及以上者均出現於 7、8 兩月。大約持續日數愈長，冷低之強度與範圍亦愈著。

另外，表 4 為冷低消失原因之初步統計，藉表約略可見冷低消失之主要因素為進入槽線中與之合併；及進入高壓或脊線區域，以及受颱風環流影響。但大部份冷低之消失原因，仍有待研究。

五、摘要與結論

(一)就東亞及西太平洋區域言，夏半年高空冷心低壓活動，有其特定之氣壓場。其出現之最有利高度約在 500mb 至 150mb 之間，亦即低層信風（間為西南季風）與高空平流層東風間之過度區，略以 300mb 層為中心。其出現水平範圍則略以西藏高原為其西界（100°E）至 150°E 以西之高層微弱之副熱帶高壓區內，該區在冬季屬極地西風帶所佔，亦可謂為上層之季風區（圖 2a 與圖 3b）。

(二)此處有關冷心低壓氣候學之研究，包括最近 15 年（1963-1977）6 至 9 月間，100°E-155°E 以及 15°N-40°N 範圍內冷心低壓之路徑與強度統計（圖 5），持續達 5 天以上冷渦資料之調查（表 1）

表 2. 1963-1977 年 300MB 冷心低壓發生時天氣圖形式統計表

發生原因 月份	西風槽後端 或兩高壓間	西風槽前並 有高壓阻擋	東風槽或鞍 形場中性點 (兩高壓間)	由颱風引起	其他原因
6	13	1	6	0	0
7	16	9	17	4	2
8	22	5	29	4	4
9	7	2	15	1	6
總計	58	17	67	9	12
百分比	35.6%	10.4%	41.1%	5.5%	7.4%

表 4. 1963-1977 年 300MB 冷心低壓消失時天氣圖形式統計表

消失原因 月份	溫度上升或 與槽線合併	受高壓或脊 線增強消失	受颱風環流 影響消失	進入西風帶 或西風槽	原因不明或 其他原因
6	3	5	1	1	1 併入東風槽 1 併入北方中心 8 其他 10
7	8	6	4	2	1 與另一例合併 27 其他 28
8	4	14	6	4	1 與北方槽合併 1 槽東移減弱 1 隨槽北移成主中心 1 成主槽中心 32 其他 36
9	7	4	1	2	17
總計	22	29	12	9	91
百分比	13.5%	17.8%	7.4%	5.5%	55.8%

表3. 1963-1977年 300MB. 冷心低壓持續日數統計表

月份	持續天數	≥ 1	2	3	4	5	6	7	8	9	≥ 10	總計
	及 < 2											
6	5	7	2	3	3	0	0	0	0	0	0	20
7	10	8	5	9	5	2	3	3	1	2	2	48
8	13	17	14	9	5	1	1	1	1	2	2	64
9	11	8	6	1	3	1	1	0	0	0	0	31
總計	39	40	27	22	16	4	5	4	2	4	4	163

，路徑分月統計（圖6），冷渦生成地點及成因統（圖7與表2），冷渦持續日數統計（表3），冷渦消失原因統計（表4）等。

（二）藉上述（一）中之氣候學調查，可見冷渦活動係以8月份為最頻，且一般活動區域係在30°N以南，並以台灣及其附近為冷渦活動中心，主要路徑為向西，並類多不規則。

（四）於163次個例中，就其生成原因統計Palmen型（西風槽尾部斷裂而成）佔46%，Palmer型（東風波中生成）佔41.1%。該兩類形成於台灣及其鄰近區域，亦特多。因就Palmen型言，西風槽

在亞洲沿海每有最大強度，且其前受阻於太平洋副熱帶高壓，故甚易斷裂而成冷渦。而就Palmer型言，台灣區所在緯度，恰為「副高」之南，高層東風波動及冷渦所必經區域，故亦甚易產生。

誌 謝

本研究在設計及開始實施初期，蒙陳泰然博士撥冗參與指導，在此謹致謝忱。又本研究計劃進行期間，參與工作者有趙友夔、李富城、張守仁、易安成、蘇健玲、林洋政、蕭德興等同學，在此均一併致謝。

參 考 文 獻

- Frank, N. L. 1970: On the energetics of cold lows. Tropical Meteorological symposium, Hawaii.
- Palmen, E. 1949: Origin and structure of high-level cyclones south of the maximum westerics. *Tellus*, 1, 22-31
- Palmen, E. 1951: The aerology of extratropical disturbances. *Compendium of Meteorology*. AMS. 612-618
- Palmen, E. and Newton, C. W. 1969: Atmospheric circulation systems. 273-289
- Palmer, C. E. 1953: The impulsive generation of certain changes in the tropospheric circulation. *J. Meteor.* 10, 1-9
- Sadler, J. C. 1963: Utilization of meteorological satellite cloud data in tropical meteorology, Rocket and satellite meteorology. North Holland Publ. Amsterdam.
- Simpson, R. H. 1952: Evolution of the Kona storm, a subtropical cyclone. *J. Meteor.* 9, 24-35.
- 林鞠情 1972: 由特例看高層輻散對雷雨的觸發作用。氣象學報，第十八卷，第二期，27-39
- 吳宗堯 1972: 夏季東亞高空冷心低壓之分析，大氣科學，第三期，1-11
- 戚啓勳 1970: 東亞大氣環流研究輯錄，臺灣省氣象局